



Министерство науки и высшего образования Российской Федерации  
федеральное государственное бюджетное образовательное учреждение  
высшего профессионального образования  
«Московский государственный технический университет имени  
Н.Э. Баумана (национальный исследовательский университет)»  
(МГТУ им. Н.Э. Баумана)

ФАКУЛЬТЕТ «Робототехники и комплексной автоматизации»  
КАФЕДРА «Системы автоматизированного проектирования (РК-6)»

## ОТЧЕТ О ВЫПОЛНЕНИИ ЛАБОРАТОРНОЙ РАБОТЫ по дисциплине «Вычислительная математика»

Студент:	Пролыгина Алина Максимовна
Группа:	РК6-51Б
Тип задания:	лабораторная работа
Тема:	Интерполяция кубическими сплай- нами

Студент

\_\_\_\_\_  
подпись, дата

Пролыгина А.М.  
\_\_\_\_\_  
Фамилия, И.О.

Преподаватель

\_\_\_\_\_  
подпись, дата

Соколов А.П.  
\_\_\_\_\_  
Фамилия, И.О.

Москва, 2021

# Содержание

<b>Интерполяция кубическими сплайнами</b>	<b>3</b>
1    Задание . . . . .	3
2    Цель выполнения лабораторной работы . . . . .	5
3    Выполненные задачи . . . . .	5
4    Базовая часть . . . . .	6
4.1 Вычисление коэффициентов естественного кубического сплайна . . . .	6
4.2 Построение сплайна и его производной . . . . .	9
4.3 Построение графика кубического сплайна и его дифференциала . . .	10
5    Продвинутая часть . . . . .	11
5.1 Вычисление базисного полинома Лагранжа . . . . .	11
5.2 Вычисление интерполяционного полинома Лагранжа . . . . .	11
5.3 Влияние погрешности величины $x_i$ на интерполяцию Лагранжа . . .	12
5.4 Влияние погрешности величины $h_i$ на интерполяцию Лагранжа . . .	14
5.5 Влияние погрешности величин $x_i$ и $h_i$ на интерполяцию кубическим сплайном . . . . .	15
6    Заключение . . . . .	18

# Интерполяция кубическими сплайнами

## 1 Задание

Требуется (базовая часть):

1. Разработать функцию  $qubic\_spline\_coeff(x\_nodes, y\_nodes)$ , которая посредством решения матричного уравнения вычисляет коэффициенты естественного кубического сплайна. Для простоты, решение матричного уравнения можно производить с помощью вычисления обратной матрицы с использованием функции  $numpy.linalg.inv()$ .
2. Написать функции  $qubic\_spline(x, qs\_coeff)$  и  $d\_qubic\_spline(x, qs\_coeff)$ , которые вычисляют соответственно значение кубического сплайна и его производной в точке  $x$  ( $qs\_coeff$  обозначает матрицу коэффициентов).
3. Используя данные в таблице 1, требуется построить аппроксимацию зависимости уровня поверхности жидкости  $h(x)$  от координаты  $x$  (см. рисунок 1) с помощью кубического сплайна и продемонстрировать ее на графике вместе с исходными узлами.

Таблица 1. Значения уровня поверхности вязкой жидкости (рис. 1)

$x_i$	0	0.1	0.2	0.3	0.4	0.5	0.6	0.7	0.8	0.9	1
$h_i$	3.37	3.95	3.73	3.59	3.15	3.15	3.05	3.86	3.60	3.70	3.02

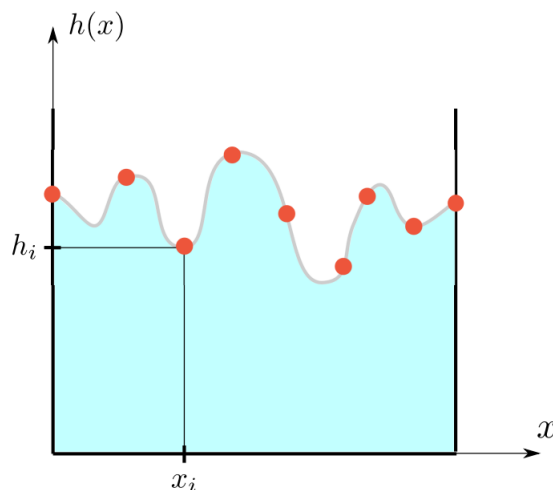


Рис. 1. Поверхность вязкой жидкости (серая кривая), движущейся сквозь некоторую среду (например, пористую). Её значения известны только в нескольких точках (красные узлы).

Требуется (продвинутая часть):

1. Разработать функцию  $l\_i(i, x, x\_nodes)$ , которая возвращает значение  $i$ -го базисного полинома Лагранжа, заданного на узлах с абсциссами  $x\_nodes$ , в точке  $x$ .
2. Написать функцию  $L(x, x\_nodes, y\_nodes)$ , которая возвращает значение интерполяционного полинома Лагранжа, заданного на узлах с абсциссами  $x\_nodes$  и ординатами  $y\_nodes$ , в точке  $x$ .
3. Известно, что при измерении координаты  $x_i$  всегда возникает погрешность, которая моделируется случайной величиной с нормальным распределением с нулевым математическим ожиданием и стандартным отклонением  $10^{-2}$ . Требуется провести следующий анализ, позволяющий выявить влияние этой погрешности на интерполяцию:
  - (а) Сгенерировать 1000 векторов значений  $[\tilde{x}_0, \dots, \tilde{x}_{10}]^T$ , предполагая, что  $\tilde{x}_i = x_i + Z$ , где  $x_i$  соответствует значению в таблице 1 и  $Z$  является случайной величиной с нормальным распределением с нулевым математическим ожиданием и стандартным отклонением  $10^{-2}$ .
  - (б) Для каждого из полученных векторов построить интерполянт Лагранжа, предполагая, что в качестве абсцисс узлов используются значения  $\tilde{x}_i$ , а ординат –  $h_i$  из таблицы 1. В результате вы должны иметь 1000 различных интерполянтов.
  - (в) Предполагая, что все интерполянты представляют собой равновероятные события, построить такие функции  $\tilde{h}_l(x)$  и  $\tilde{h}_u(x)$ , где  $\tilde{h}_l(x) < \tilde{h}_u(x)$  для любого  $x \in [0; 1]$ , что вероятность того, что значение интерполянта в точке  $x$  будет лежать в интервале  $[\tilde{h}_l(x); \tilde{h}_u(x)]$  равна 0.9.
  - (г) Отобразить на едином графике функции  $\tilde{h}_l(x)$ ,  $\tilde{h}_u(x)$ , усредненный интерполянт и узлы из таблицы 1.
  - (д) Какие участки интерполянта и почему являются наиболее чувствительными к погрешностям?
4. Повторить анализ, описанный в предыдущем пункте, в предположении, что координаты  $x_i$  вам известны точно, в то время как измерения уровня поверхности  $h_i$  имеют ту же погрешность, что и в предыдущем пункте. Изменились ли выводы вашего анализа?
5. Повторить два предыдущие пункта для случая интерполяции кубическим сплайном. Какие выводы вы можете сделать, сравнив результаты анализа для интерполяции Лагранжа и интерполяции кубическим сплайном?

## 2 Цель выполнения лабораторной работы

Цель выполнения лабораторной работы – познакомиться с интерполяцией в целом (базовая часть) и проанализировать, как неопределенности влияют на ее предсказания (продвинутая часть).

## 3 Выполненные задачи

1. Разработана функция  $qubic\_spline\_coeff(x\_nodes, y\_nodes)$ , которая посредством решения матричного уравнения вычисляет коэффициенты естественного кубического сплайна.
2. Написаны функции  $qubic\_spline(x, qs\_coeff)$  и  $d\_qubic\_spline(x, qs\_coeff)$ , которые вычисляют соответственно значение кубического сплайна и его производной в точке  $x$  ( $qs\_coeff$  обозначает матрицу коэффициентов).
3. Используя данные в таблице 1, построена аппроксимация зависимости уровня поверхности жидкости  $h(x)$  от координаты  $x$  (см. рисунок 1) с помощью кубического сплайна и продемонстрирована на графике вместе с исходными узлами.
4. Разработана функция  $l\_i(i, x, x\_nodes)$ , которая возвращает значение  $i$ -го базисного полинома Лагранжа, заданного на узлах с абсциссами  $x\_nodes$ , в точке  $x$ .
5. Написана функция  $L(x, x\_nodes, y\_nodes)$ , которая возвращает значение интерполяционного полинома Лагранжа, заданного на узлах с абсциссами  $x\_nodes$  и ординатами  $y\_nodes$ , в точке  $x$ .
6. Проведен анализ, позволяющий выявить влияние погрешности, которая возникает при измерении координаты  $x_i$ , на интерполяцию:
  - (a) Сгенерировано 1000 векторов значений  $[\tilde{x}_0, \dots, \tilde{x}_{10}]^T$ , предполагая, что  $\tilde{x}_i = x_i + Z$ , где  $x_i$  соответствует значению в таблице 1 и  $Z$  является случайной величиной с нормальным распределением с нулевым математическим ожиданием и стандартным отклонением  $10^{-2}$ .
  - (b) Для каждого из полученных векторов построен интерполянт Лагранжа, предполагая, что в качестве абсцисс узлов используются значения  $\tilde{x}_i$ , а ординат –  $h_i$  из таблицы 1.
  - (c) Предполагая, что все интерполянты представляют собой равновероятные события, построены такие функции  $\tilde{h}_l(x)$  и  $\tilde{h}_u(x)$ , где  $\tilde{h}_l(x) < \tilde{h}_u(x)$  для любого  $x \in [0; 1]$ , что вероятность того, что значение интерполянта в точке  $x$  будет лежать в интервале  $[\tilde{h}_l(x); \tilde{h}_u(x)]$  равна 0.9.
  - (d) На едином графике отображены функции  $\tilde{h}_l(x)$ ,  $\tilde{h}_u(x)$ , усредненный интерполянт и узлы из таблицы 1.

7. Проведен анализ, описанный в предыдущем пункте, в предположении, что координаты  $x_i$  вам известны точно, в то время как измерения уровня поверхности  $h_i$  имеют ту же погрешность, что и в предыдущем пункте.
8. Проведен анализ, описанный в двух предыдущих пунктах, для случая интерполяции кубическим сплайном.

## 4 Базовая часть

### 4.1 Вычисление коэффициентов естественного кубического сплайна

Пусть функция  $f(x)$  задана в  $n$  интерполяционных узлах  $a = x_1, x_2, \dots, x_n = b$  на отрезке  $[a; b]$ . Тогда кубическим сплайном для функции  $f(x)$  называется функция  $S(x)$ , для которой верно:

1.  $S(x)$  кусочно задана кубическими многочленами  $S_i(x)$  на каждом отрезке  $[x_i; x_{i+1}]$ ,  $i = 1, \dots, n - 1$ ;
2.  $S_i(x_i) = f(x_i)$  и  $S_i(x_{i+1}) = f(x_{i+1})$ ,  $i = 1, \dots, n - 1$ ;
3. значения смежных многочленов совпадают в общих узлах:  $S_i(x_{i+1}) = S_{i+1}(x_{i+1})$ ,  $i = 1, \dots, n - 2$ ;
4. значения первых производных смежных многочленов совпадают в общих узлах:  $S'_i(x_{i+1}) = S'_{i+1}(x_{i+1})$ ,  $i = 1, \dots, n - 2$ ;
5. значения вторых производных смежных многочленов совпадают в общих узлах:  $S''_i(x_{i+1}) = S''_{i+1}(x_{i+1})$ ,  $i = 1, \dots, n - 2$ ;
6. заданы граничные условия (в данной задаче используются естественные граничные условия):  $S''(x_1) = S''(x_n) = 0$

Форма кубического многочлена  $S_i(x)$  на отрезке  $[x_i, x_{i+1}]$ :

$$S_i(x) = a_i + b_i \cdot (x - x_i) + c_i \cdot (x - x_i)^2 + d_i \cdot (x - x_i)^3, \quad (1)$$

где  $a_i, b_i, c_i, d_i$  называются коэффициентами кубического сплайна. Коэффициенты вычисляются с помощью решения СЛАУ  $A \cdot c = B$ :

$$\begin{pmatrix} 1 & 0 & \dots & \dots & \dots & 0 \\ q_0 & 2 \cdot (q_1 + q_0) & q_1 & 0 & \dots & 0 \\ 0 & q_1 & 2 \cdot (q_2 + q_1) & q_2 & \dots & 0 \\ \vdots & \ddots & \ddots & \ddots & \ddots & \vdots \\ 0 & \dots & 0 & q_{n-3} & 2 \cdot (q_{n-2} + q_{n-3}) & q_{n-2} \\ 0 & \dots & \dots & \dots & 0 & 1 \end{pmatrix} \cdot \begin{pmatrix} c_0 \\ c_1 \\ c_2 \\ \vdots \\ c_{n-2} \\ c_{n-1} \end{pmatrix} =$$

$$= \begin{pmatrix} 0 & & & & \\ \frac{3}{q_1} \cdot (a_2 - a_1) - \frac{3}{q_0} \cdot (a_1 - a_0) & & & & \\ \frac{3}{q_2} \cdot (a_3 - a_2) - \frac{3}{q_1} \cdot (a_2 - a_1) & & & & \\ \vdots & & & & \\ \frac{3}{q_{n-2}} \cdot (a_{n-1} - a_{n-2}) - \frac{3}{q_{n-3}} \cdot (a_{n-2} - a_{n-3}) & & & & \\ 0 & & & & \end{pmatrix} \quad (2)$$

где  $q_i = x_{i+1} - x_i$ , при  $i = 0, \dots, n-2$ .

Из уравнения (2) находится вектор коэффициентов  $c$ , остальные коэффициенты находятся по формулам (3), (4) и (5).

$$a_i = f(x_i), \quad (3)$$

$$b_i = \frac{1}{q_i} \cdot (a_{i+1} - a_i) - \frac{q_i}{3} \cdot (c_{i+1} + 2 \cdot c_i), \quad (4)$$

$$d_i = \frac{c_{i+1} - c_i}{3 \cdot q_i}; \quad (5)$$

Алгоритм функции `qubic_spline_coeff(x_nodes, y_nodes)`:

1. Создаются три списка с главной и смежной с ними диагоналями. Из них формируется итоговая матрица  $A$  (Листинг 1).
2. В цикле заполняется матрица  $B$ .
3. С помощью функции `pr.linalg.inv()` матрица транспонируется для возможности решения СЛАУ (2) с последующим нахождением вектора  $c$ .
4. По формулам (4) и (5) находятся остальные коэффициенты и объединяются в искомую матрицу `qs_coeff` (Листинг 2).

Функция `qubic_spline_coeff(x_nodes, y_nodes)`, разработанная для нахождения коэффициентов кубического сплайна, представлена фрагментами в листингах 1 и 2 на языке Python.

Листинг 1. Заполнение матрицы  $A$  по формуле (2)

---

```
1
2 for i in range(N-2):
3     K = 2*(x_nodes[i+2] - x_nodes[i])
4     K0.append(K)
5     K0.append(1)
6
7 for i in range(N-2):
8     K = x_nodes[i+1] - x_nodes[i]
9     K_1.append(K)
10    K_1.append(0)
11
12 for i in range(N-2):
13     K = x_nodes[i+2] - x_nodes[i+1]
14     K1.append(K)
15
16 A = np.diag(K0, 0)
17 A1 = np.diag(K1, 1)
18 A_1 = np.diag(K_1, -1)
19 A = A + A1 + A_1
```

---

Листинг 2. Создание матрицы коэффициентов  $qs\_coeff$

---

```
1
2 res_c = np.dot(A_T, B)
3 res_b = np.zeros((N))
4 res_d = np.zeros((N))
5
6 for i in range(N-1):
7     res_b[i] = 1/(x_nodes[i+1]-x_nodes[i])*(y_nodes[i+1]-y_nodes[i]) -
8             (x_nodes[i+1]-x_nodes[i])/3*(res_c[i+1]+2*res_c[i])
9     res_d[i] = (res_c[i+1]-res_c[i])/(3*(x_nodes[i+1]-x_nodes[i]))
10
11 qs_coeff = [res_b, res_c, res_d]
12
13 return qs_coeff
```

---



## 4.2 Построение сплайна и его производной

В пункте 4.1 были определены коэффициенты естественного кубического сплайна. Для вычисления значения сплайна  $S_i(x)$  в точке  $x$  необходимо подставить значения коэффициентов  $b_i$ ,  $c_i$ ,  $d_i$  в выражение (1). Для построения достаточно плавного графика взяты 100 точек, которые приближаются к исходным узлам  $x\_nodes$  с помощью функции  $approx(x, x\_nodes)$ , представленной в листинге 3. Функция  $qubic\_spline(x, qs\_coeff, x\_nodes, y\_nodes)$ , разработанная для вычисления значения сплайна  $S_i(x)$  в точке  $x$ , отображена в листинге 4 на языке Python.

Листинг 3. Реализация функции  $approx(x, x\_nodes)$

---

```
1 def approx(x, x_nodes):
2     i = 0
3     N = len(x_nodes)
4
5     while((x > x_nodes[i]) and i < 10):
6
7         i = i + 1
8
9     if(x <= x_nodes[0]):
10         i = 1
11
12     if(x >= x_nodes[N-1]):
13         i = N-1
14     return i - 1
```

---

Листинг 4. Реализация функции  $qubic\_spline(x, qs\_coeff, x\_nodes, y\_nodes)$

---

```
1 def qubic_spline(x, qs_coeff, x_nodes, y_nodes): # функция сплайна
2
3     i = approx(x, x_nodes)
4     S = y_nodes[i] + qs_coeff[0][i]*(x-x_nodes[i]) + qs_coeff[1][i]*(x-x_nodes[i])**2 +
5         qs_coeff[2][i]*(x - x_nodes[i])**3
6
7     return S
```

---

Аналогично, для вычисления значения производной сплайна  $S'_i(x)$  в точке  $x$  коэффициенты  $b_i$ ,  $c_i$ ,  $d_i$  подставляются в выражение (6):

$$S'_i(x) = b_i + 2c_i \cdot (x - x_i) + 3d_i \cdot (x - x_i)^2. \quad (6)$$

Функция вычисления производной сплайна  $d\_qubic\_spline(x, qs\_coeff, x\_nodes)$  представлена в листинге 5.

Листинг 5. Реализация функции  $d\_qubic\_spline(x, qs\_coeff, x\_nodes)$

---

```

1  def d_qubic_spline(x, qs_coeff, x_nodes): # функция вычисления производной сплайна
2
3  i = approx(x, x_nodes)
4  S_ = qs_coeff[0][i] + 2*qs_coeff[1][i]*(x-x_nodes[i]) +
      3*qs_coeff[2][i]*(x-x_nodes[i])**2
5
6  return S_
7
8  return S

```

---

### 4.3 Построение графика кубического сплайна и его дифференциала

Для построения приближения зависимости уровня поверхности жидкости  $h(x)$  от координаты  $x$  по точкам из таблицы 1 использован метод интерполяции кубическими сплайнами. С использованием библиотеки matplotlib был построен график составного кубического сплайна  $S(x)$  и его производной  $S'(x)$ . При построении использовался шаг  $h=0.01$ . (Рис. 2 и 3)

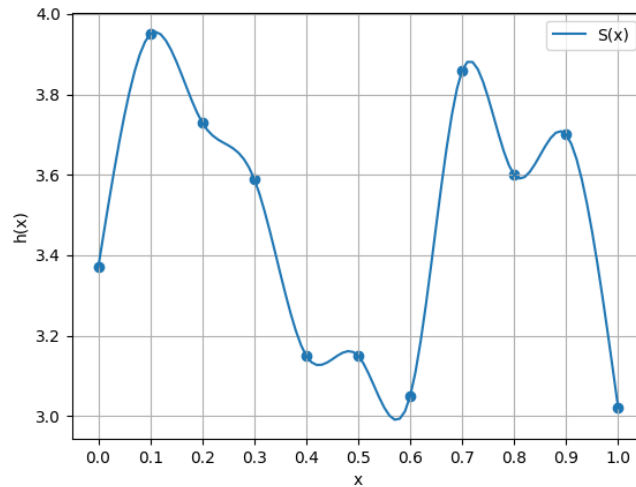


Рис. 2. Аппроксимация зависимости уровня жидкости  $h(x)$  от координаты  $x$  с помощью естественного кубического сплайна вместе с исходными узлами.

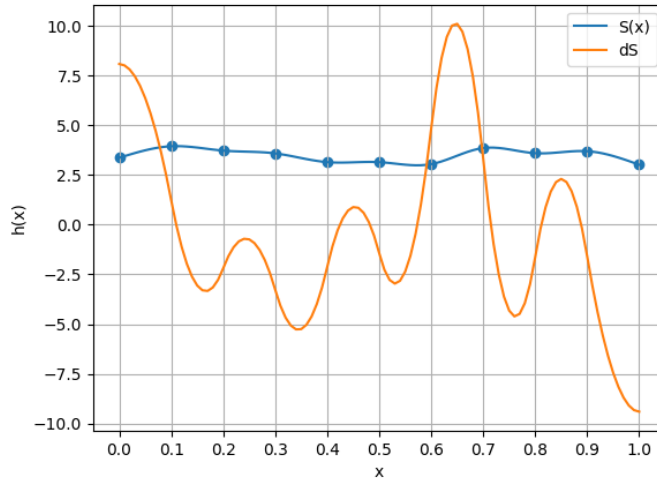


Рис. 3. График кубического сплайна и его производной

## 5 Продвинутая часть

### 5.1 Вычисление базисного полинома Лагранжа

Функция  $l_i(i, x, x\_nodes)$ , программная реализация которой представлена в листинге 6, вычисляет значение  $i$ -го базисного полинома Лагранжа по формуле (7):

$$l_i(x) = \prod_{j \neq i} \frac{x - x_j}{x_i - x_j}; \quad (7)$$

где  $j = 0, \dots, n - 1$ .

Листинг 6. Реализация функции  $l_i(i, x, x\_nodes)$

---

```

1  def l_i(i, x, x_nodes): # вычисление базисного полинома Лагранжа
2      li = 1
3      for j in range(N):
4          if(i != j):
5              li = li * ((x - x_nodes[j]) / (x_nodes[i] - x_nodes[j]))
6      return li

```

---

### 5.2 Вычисление интерполяционного полинома Лагранжа

Функция  $L(x, x\_nodes, y\_nodes)$ , представленная в листинге 7, находит значение интерполяционного полинома Лагранжа по формуле (8):

$$L_{n-1}(x) = \sum_{i=0}^{n-1} f(x_i) \cdot l_i(x); \quad (8)$$

где  $l_i(x)$  -  $i$ -тый базисный полином Лагранжа, который вычисляется по формуле (7).

Листинг 7. Реализация функции  $L(x, x\_nodes, y\_nodes)$

---

```

1  def L(x, x_nodes, y_nodes): # вычисление интерполяционного полинома Лагранжа
2  Lx = 0
3  for i in range(N):
4      Lx = Lx + y_nodes[i]*(l_i(i, x, x_nodes))
5  return Lx

```

---

### 5.3 Влияние погрешности величины $x_i$ на интерполяцию Лагранжа

Для генерации 1000 векторов  $\tilde{x}_i$  необходимо нормально распределить с нулевым математическим ожиданием и стандартным отклонением  $10^{-2}$  величину  $Z$ , т.к.  $\tilde{x}_i = x_i + Z$ . Задание величины  $Z$  с последующим определением  $\tilde{x}_i$  представлено в листинге 8.

Листинг 8. Вычисление  $\tilde{x}$

---

```

1  for i in range(1000): # заполнение массива погрешностей
2  ZZ = []
3  for j in range(N):
4      ZZ.append(np.random.normal(0, 0.01))
5  Z.append(ZZ)
6
7  for i in range(1000): # заполнение массива иксов погрешностью
8  Xt = []
9  for j in range(N):
10     Xt_ = x_nodes[j] + Z[i][j]
11     Xt.append(Xt_)
12  Xt.append(Xt)

```

---

Передавая  $\tilde{x}_i$  вместо  $x\_nodes$  в функцию  $L(x, x\_nodes, y\_nodes)$ , строим график 1000 интерполянтов Лагранжа (Рис. 4).

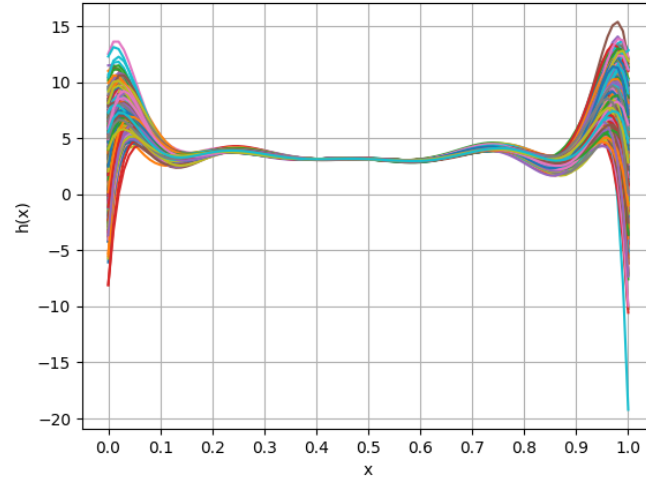


Рис. 4. 1000 различных интерполянтов Лагранжа на основе значений  $\tilde{x}_i$ .

Так как всего 1000 интерполянтов Лагранжа (номера элементов массива интерполянтов от 0 до 999), то, чтобы вероятность того, что значение интерполянта в точке  $x$  принадлежало интервалу  $[\tilde{h}_l(x); \tilde{h}_u(x)]$ , равнялась 0.9,  $\tilde{h}_l(x)$  должен быть выше, чем 5% всех сплайнов, а  $\tilde{h}_u(x)$ , наоборот, ниже чем 5% всех сплайнов. Следовательно,  $\tilde{h}_l(x)$  – это 49-й элемент отсортированного массива интерполянтов Лагранжа, а  $\tilde{h}_u(x)$  – 949-й элемент этого массива ( $\tilde{h}_l(x)$  – верхняя граница доверительной полосы, а  $\tilde{h}_u(x)$  – нижняя граница доверительной полосы). Средний элемент соответствует 499-тому элементу. Сортировка осуществляется с помощью функции `np.sort()`. (Рис. 5)

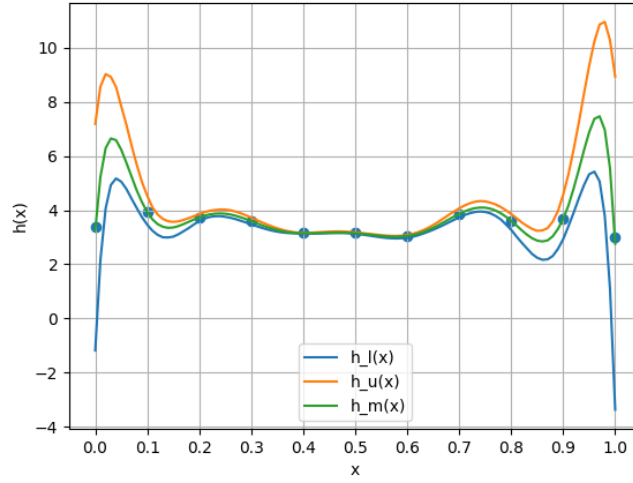


Рис. 5. График функций  $\tilde{h}_l(x)$ ,  $\tilde{h}_u(x)$  и усредненного интерполянта с выводом узлов на основе значений  $\tilde{x}_i$ .

На графике (Рис. 5) видно, что погрешность интерполяции с ростом  $j$  до определенного момента убывает (примерно до  $j = 50$ ), затем начинает возрастать. Это связано с ошибками округления, которые при большом числе равномерно распределенных узлов оказывают все большее негативное влияние на результат. Значит, наиболее чувствительными к погрешностям участками интерполянта являются граничные участки (начальные и конечные), т. к. на них накапливаются паразитные осцилляции. При большом числе узлов следует использовать другие наборы узлов интерполяции, являющиеся нулями ортогональных полиномов, например, полиномов Чебышева.

#### 5.4 Влияние погрешности величины $h_i$ на интерполяцию Лагранжа

Повторен анализ из предыдущего пункта, предполагая, что  $\tilde{h}_i = h_i + Z$ , где  $h_i$  соответствует значению в таблице 1, а  $Z$  является случайной величиной с нормальным распределением с нулевым математическим ожиданием и стандартным отклонением  $10^{-2}$ . (Рис. 6 и 7)

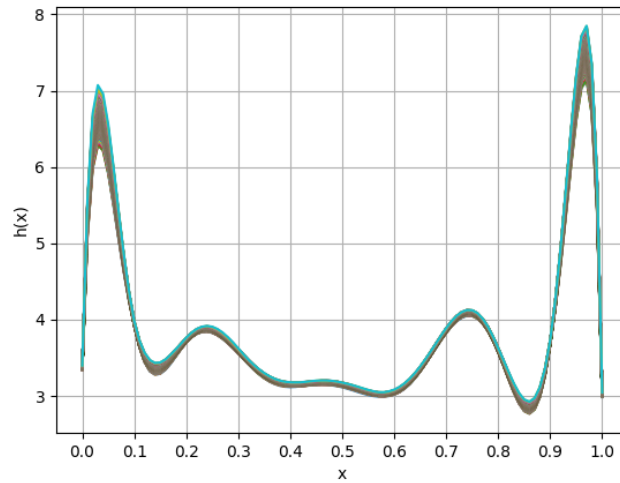


Рис. 6. 1000 различных интерполянтов Лагранжа на основе значений  $\tilde{h}_i$ .

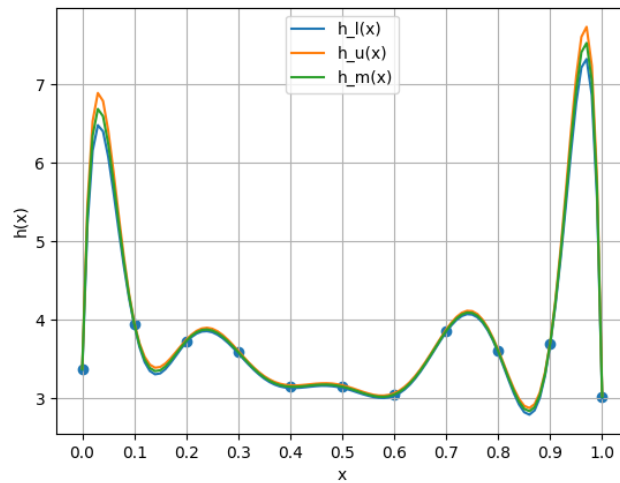


Рис. 7. График функций  $\tilde{h}_l(x)$ ,  $\tilde{h}_u(x)$  и усредненного интерполянта с выводом узлов на основе значений  $\tilde{h}_i$ .

На графике (Рис. 7) также присутствуют паразитные осцилляции на граничных участках.

### 5.5 Влияние погрешности величин $x_i$ и $h_i$ на интерполяцию кубическим сплайном

Повторен анализ из двух предыдущих пунктов для интерполяции кубическим сплайном, используя функции из базовой части задачи.

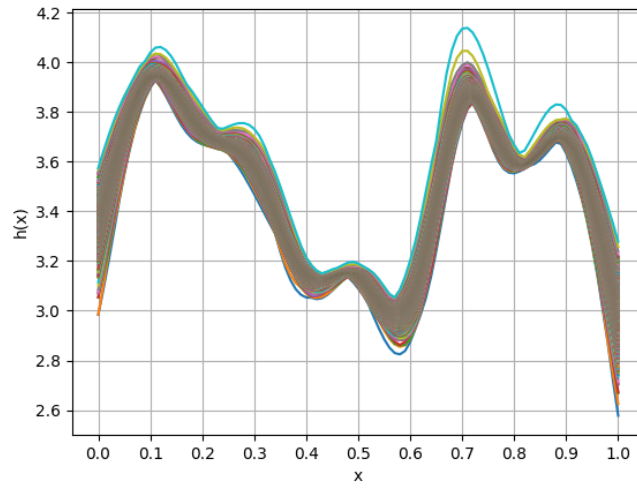


Рис. 8. 1000 различных кубических сплайнов на основе значений  $\tilde{x}_i$ .

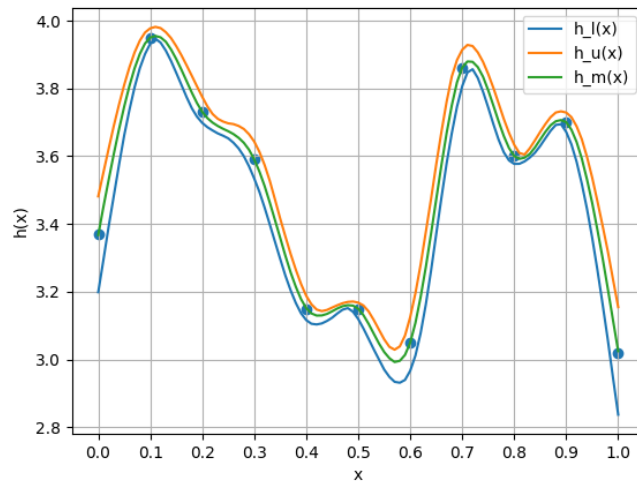


Рис. 9. График функций  $\tilde{h}_l(x)$ ,  $\tilde{h}_u(x)$  и усредненного интерполянта с выводом узлов на основе значений  $\tilde{x}_i$ .



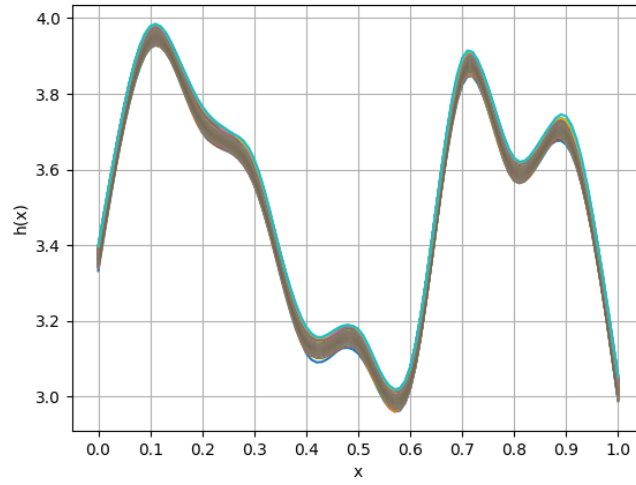


Рис. 10. 1000 различных кубических сплайнов на основе значений  $\tilde{h}_i$ .

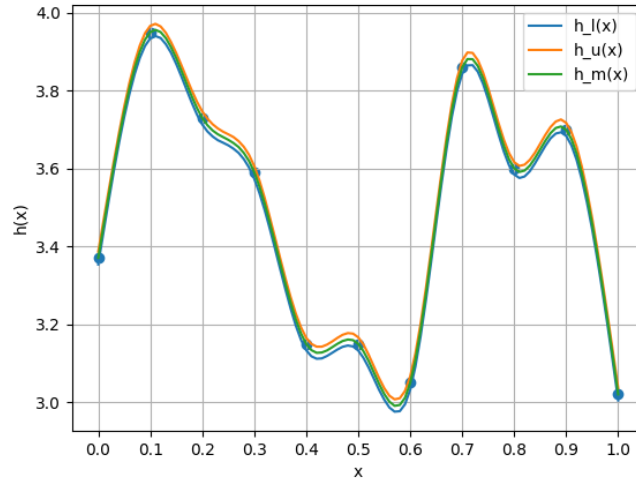


Рис. 11. График функций  $\tilde{h}_l(x)$ ,  $\tilde{h}_u(x)$  и усредненного интерполянта с выводом узлов на основе значений  $\tilde{h}_i$ .

На графиках (Рис. 9 и Рис. 11) видно, что сплайны не накапливают паразитные осцилляции, так как используются сплайны небольших порядков.

## 6 Заключение


В результате выполнения лабораторной работы были созданы функции для интерполяции кубическим сплайном и интерполяции Лагранжа. С помощью реализации доверительных и усредненных интервалов стало возможным сравнение влияния погрешностей на интерполяцию этими методами. В итоге, выяснено, что паразитные осцилляции возникают при интерполяции Лагранжа, метод кубического сплайна позволяет избежать этого, т. к. в этой задаче вычисляются сплайны достаточно небольших порядков.

### Список использованных источников

1. Першин А.Ю. Лекции по курсу «Вычислительная математика». Москва, 2018-2021. С. 140.
2. Тимербаев М.Р. Приближение функций. Численное интегрирование. Казанский федеральный университет, Казань, 2015, С. 92.

### Выходные данные

Пролыгина А.М.. Отчет о выполнении лабораторной работы по дисциплине «Вычислительная математика». [Электронный ресурс] — Москва: 2021. — 18 с. URL: <https://sa2systems.ru:88> (система контроля версий кафедры РК6)

Постановка:  ассистент кафедры РК-6, PhD А.Ю. Першин

Решение и вёрстка:  студент группы РК6-51Б, Пролыгина А.М.

2021, осенний семестр